

ГЕОФИЗИЧЕСКИЕ МЕТОДЫ ПОИСКОВ И РАЗВЕДКИ

УДК 550.832; 550.83.017

А.Д. КАРИНСКИЙ, Д.С. ДАЕВ

РЕШЕНИЕ ПРЯМОЙ ЗАДАЧИ ТЕОРИИ ДИЭЛЕКТРИЧЕСКОГО
МИКРОКАРОТАЖА ДЛЯ ОДНОЙ ИЗ МОДЕЛЕЙ АНИЗОТРОПНОЙ СРЕДЫ

Получено решение прямой задачи для модели среды с двумя плоскопараллельными границами. Разделяемые этими границами области могут отвечать «башмаку» зонда диэлектрического микрокаротажа (ДМК), глинистой корке на стенке скважины и анизотропным горным породам. На основе полученного решения можно провести математическое моделирование для оценки влияния электрических параметров анизотропных горных пород и глинистой корки на результаты ДМК, а также для обоснования методики количественной интерпретации результатов измерений в ДМК при анизотропии горных пород.

Различные методы микрокаротажа применяются для определения физических параметров горных пород, расположенных вблизи скважины, и на этой основе литологических характеристик и коллекторских свойств пород. Для обоснования методики измерений и интерпретации их результатов в теории каротажа требуется выбор моделей среды — по возможности простых, но удовлетворительно аппроксимирующих реальную среду и условия измерений. Поскольку размеры зондов микрокаротажа обычно невелики по сравнению с диаметром скважины, в теории микрокаротажа в качестве основной рассматривается модель среды с плоскопараллельными поверхностями раздела. Это означает, что при выборе модели пренебрегают конечными радиусами кривизны скважины, промытой зоны, а также глинистой корки в пластах-коллекторах (при бурении скважин на глинистом растворе).

ДМК применяется для определения диэлектрической проницаемости ϵ и удельной электропроводности σ (либо удельного электрического сопротивления $\rho = 1/\sigma$) пройденных скважиной горных пород. Если в качестве промыточной жидкости при бурении скважин используется глинистый раствор (или вода), то для проницаемых пластов-коллекторов результаты ДМК зависят в основном от ϵ и ρ промытой зоны. В ДМК измеряются характеристики электромагнитного поля при частотах от нескольких сотен мегагерц до нескольких гигагерц. Возбудителями и измерителями электромагнитного поля являются щелевые антенны. При достаточно малой длине, по сравнению с расстояниями между ними, такие антенны могут быть аппроксимированы магнитными диполями, моменты \vec{l} которых лежат на поверхности идеального проводника — «башмака» зонда ДМК, и ориентированы по направлению антенн. В более общем случае щелевые антенны можно рассматривать как линии из магнитных диполей. Напря-

жение в измерительной щелевой антенне зависит от составляющей магнитного поля вдоль такой антенны.

Ранее нами проведены исследования с целью выбора оптимальных характеристик зондов ДМК и способов интерпретации результатов измерений с такими зондами [5]. В частности, получены решения прямых задач ДМК для двух 1-D изотропных моделей среды.

1. Идеальный проводник, соответствующий «башмаку» зонда ДМК, имеет форму цилиндра с радиусом, равным радиусу скважины.

2. Идеальный проводник, башмак, отделен от остальной части среды (глинистой корки, промытой зоны, горных пород) плоскостью, т. е. заполняет полупространство. В этом случае, естественно, не учитывается влияние конечного радиуса кривизны скважины и «башмака» зонда на результаты измерений.

Показано, что для получения удовлетворительной по точности количественной интерпретации результатов измерений с различными зондами ДМК, как правило, требуется учитывать конечный радиус кривизны скважины. Вместе с тем установлено, что для зондов ДМК модели среды с плоскопараллельными границами позволяют на качественном уровне правильно оценить особенности влияния различных параметров среды на результаты ДМК. Исследования с целью выяснения влияния параметров анизотропных горных пород на «показания» зондов ДМК ранее не проводились.

Наиболее часто в теории электрических и электромагнитных геофизических методов применяется одноосная анизотропная среда (соответствующая микрослоистым, рассланцованным или трещиноватым горным породам). Удельную электропроводность σ и диэлектрическую проницаемость такой среды характеризуют две пары значений: σ_n, ϵ_n — по направлению оси анизотропии n (ортого-

нальной направлению трещин или границ прослоев) и σ_t , ε_t — по любому нормальному оси n направлению t . Поперечное и продольное удельные электрические сопротивления такой среды характеризуют параметры $\rho_n = 1/\sigma_n$ и $\rho_t = 1/\sigma_t$. Влияние немагнитной одноосной анизотропной среды на гармонически меняющееся высокочастотное электромагнитное поле зависит от волновых чисел $k_n = \sqrt{i\omega\mu_0(\sigma_n - i\omega\varepsilon_0\varepsilon_n)}$ и $k_t = \sqrt{i\omega\mu_0(\sigma_t - i\omega\varepsilon_0\varepsilon_t)}$, где i — мнимая единица; $\omega = 2\pi f$ — круговая частота; f — частота колебаний; $\mu_0 = 4\pi \cdot 10^{-7}$, Гн/м, — магнитная постоянная; $\varepsilon_0 = 1/(c^2 \cdot \mu_0)$, Ф/м, — электрическая постоянная; $c \approx 3 \cdot 10^8$, м/с, — электродинамическая постоянная, равная скорости света в вакууме. Коэффициент анизотропии $\lambda = k_t/k_n$ в общем случае — комплексная величина. В изотропной среде $\lambda = 1$.

Следует отметить, что экспериментальные исследования с целью определения диэлектрических проницаемостей и удельных электропроводностей анизотропных горных пород с применяемыми в ДМК частотами не проводились. Возможно, что для задания электрических параметров анизотропной среды при математическом моделировании высокочастотного электромагнитного поля в анизотропных средах можно воспользоваться выражениями для σ_n, ε_n и σ_t, ε_t макроанизотропных сред [3].

При получении решений прямых задач электродинамики для некоторых возбудителей электромагнитного поля, в частности, магнитного диполя, удобно использовать электродинамические потенциалы магнитного типа. В однородной анизотропной среде вне сторонних возбудителей поля при применении калибровки В.Н. Тихонова [7] векторный электродинамический потенциал \vec{A} магнитного типа в декартовой системе координат связан с напряженностями электрического (\vec{E}) и магнитного (\vec{H}) полей равенствами:

$$\begin{aligned} E_x &= \frac{1}{\varepsilon_t^*} \left(\frac{\partial A_z}{\partial y} - \frac{\partial A_y}{\partial z} \right), E_y = \frac{1}{\varepsilon_t^*} \left(\frac{\partial A_x}{\partial z} - \frac{\partial A_z}{\partial x} \right), \\ E_z &= \frac{\lambda^2}{\varepsilon_t^*} \left(\frac{\partial A_y}{\partial z} - \frac{\partial A_z}{\partial x} \right), \end{aligned} \quad (1)$$

$$\begin{aligned} H_x &= \frac{1}{i\omega\mu_0\varepsilon_t^*} \left[\lambda^2 \left(\frac{\partial^2 A_x}{\partial x^2} + \frac{\partial^2 A_z}{\partial x\partial y} \right) + \frac{\partial^2 A_z}{\partial x\partial z} \right] - i\omega A_x, \\ H_y &= \frac{1}{i\omega\mu_0\varepsilon_t^*} \left[\lambda^2 \left(\frac{\partial^2 A_x}{\partial x\partial y} + \frac{\partial^2 A_y}{\partial y^2} \right) + \frac{\partial^2 A_z}{\partial y\partial z} \right] - i\omega A_y, \\ H_z &= \frac{1}{i\omega\mu_0\varepsilon_t^*} \left[\lambda^2 \left(\frac{\partial^2 A_x}{\partial x\partial z} + \frac{\partial^2 A_y}{\partial y\partial z} \right) + \frac{\partial^2 A_z}{\partial z^2} \right] - i\omega A_z \end{aligned} \quad (2)$$

где $\varepsilon_n^* = \varepsilon_0\varepsilon_n + i\sigma_n/\omega$, $\varepsilon_t^* = \varepsilon_0\varepsilon_t + i\sigma_t/\omega$ — комплексные абсолютные диэлектрические проницаемости по направлениям n и t . Декартовы компоненты потенциала A удовлетворяют дифференциальным уравнениям:

$$\left. \begin{aligned} \tilde{\nabla}^2 A_x + k_n^2 A_x &= 0, \quad \tilde{\nabla}^2 A_y + k_n^2 A_y = 0, \\ \nabla^2 A_z + k_t^2 A_z &= (1 - \lambda^2) \left(\frac{\partial^2 A_x}{\partial x\partial z} + \frac{\partial^2 A_y}{\partial y\partial z} \right), \\ \tilde{\nabla}^2 &= \frac{\partial^2}{\partial x^2} + \frac{\partial^2}{\partial y^2} + \frac{1}{\lambda^2} \frac{\partial^2}{\partial z^2} \end{aligned} \right\} \quad (3)$$

В [8, 9] приведены сведения о применяемых в практике зондах ДМК. Генераторные (Г) и измерительные (И) щелевые антенны у этих зондов могут быть аппроксимированы взаимно параллельными линиями l_Γ, l_I , ориентированными по нормали к «оси» зонда (рис. 1). Если, например, щелевые антенны параллельны оси X , то напряжение в измерительной антенне пропорционально двойному интегралу

$$E = \iint_{l_\Gamma l_I} H_x dl_\Gamma dl_I, \quad (4)$$

где H_x — x -компонента магнитного поля \vec{H} магнитного диполя с моментом по линии l_I . При достаточно малых по сравнению с L длинах l_Γ и l_I зонд ДМК можно рассматривать как дипольно-экваториальный (зонд из генераторного и измерительного магнитных диполей с взаимно-параллельными моментами, ортогональными «оси» L зонда).

Поле магнитного диполя в однородной анизотропной среде

Пусть центр магнитного диполя находится в начале декартовых координат x, y, z ; ось Z направлена по оси анизотропии n , а момент \vec{M} диполя лежит в плоскости $y = 0$. Тогда $\vec{M} = \vec{l}_x M_x + \vec{l}_z M_z$, где M_z и M_x — компоненты \vec{M} по оси анизотропии n и нормальная к n соответственно. При решении прямой задачи электродинамики для однородной анизотропной модели среды получаем следующие, удовлетворяющие уравнениям (3), формулы для компонент потенциала $A = \vec{l}_x A_x + \vec{l}_z A_z$, связанного с электромагнитным полем равенствами (1), (2):

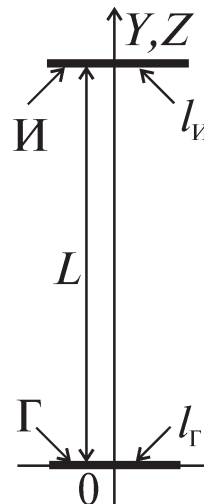


Рис. 1. Взаимное расположение генераторной и измерительной антенн в зонде ДМК: L — расстояние между ними

$$\left. \begin{aligned} A_x &= i\omega\mu_0\varepsilon_n^* \frac{\lambda M_x}{4\pi} \exp(ik_n S) / S, \\ A_z &= M_z \frac{i\omega\mu_0\varepsilon_t^* \exp(ik_t R)}{4\pi R} + \\ &+ M_x \frac{i\omega\mu_0\varepsilon_n^* \lambda}{4\pi} \frac{x \cdot z}{x^2 + y^2} \lambda \left(\lambda \frac{\exp(ik_n S)}{S} - \frac{\exp(ik_t R)}{R} \right) \end{aligned} \right\}, \quad (5)$$

где $R = \sqrt{x^2 + y^2 + z^2}$, $S = \sqrt{x^2 + y^2 + \lambda^2 z^2}$. На основе (1), (2), (5) можем получить выражения для компонент полей \vec{E} и \vec{H} магнитного диполя в однородной анизотропной среде. Следовательно, при ориентации момента \vec{M} по оси анизотропии n ($M_x = 0$, $M = \vec{l}_z M_z$) на электромагнитное поле влияет k_t , но не влияют k_n и коэффициент анизотропии λ . В этом случае поле может испытывать только влияние таких электрических параметров анизотропной среды, как ρ_t и ε_t . Это связано с тем, что при $\vec{M} = \vec{l}_z M_z$ векторы \vec{E} лежат в плоскостях, нормальных к оси анизотропии n и, в соответствии с [6], не происходит поляризации среды, обусловленной ее анизотропией. При $M_x \neq 0$ компоненты электромагнитного поля зависят как от k_t , так и от k_n и λ . Приведем выражения для магнитного поля \vec{H} при $M = \vec{l}_x M_x$ в двух частных случаях.

$$1. \vec{M} = \vec{l}_x M_x, x = z = 0, R = S = |y| = L, \vec{H} = \vec{l}_x H_x,$$

$$H_x = \frac{-M_x}{4\pi L^3} [\exp(ik_t L) - ik_t L (1 - ik_n L) \exp(ik_n L)]. \quad (6)$$

Определяемой компоненте H_x в (6) пропорционально напряжению, измеряемое при помощи дипольно-экваториального зонда, ориентированного по нормали к оси анизотропии. Иначе говоря, в данном случае моменты генераторного и измерительного диполей, а также отрезок прямой, соединяющий центры диполей, ортогональны оси анизотропии n .

$$2. \vec{M} = \vec{l}_x M_x, x = y = 0, R = |z| = L,$$

$$S = \lambda L, \vec{H} = \vec{l}_x H_x,$$

$$H_x = \frac{-M_x}{4\pi L^3} \exp(ik_t L) \left[(1 - ik_t L - k_t^2 L^2) + \frac{1}{2} (k_t^2 - k_n^2) L^2 \right]. \quad (7)$$

Компоненте H_x в (7) пропорционально напряжению, измеряемое при помощи дипольно-экваториального зонда, ориентированного по оси анизотропии n . Иными словами, в этой ситуации моменты генераторного и измерительного диполей ортогональны оси n , а отрезок прямой, соединяющий центры диполей, лежит на оси n .

Поле в одной из моделей неоднородной анизотропной среды

Получим решение прямой задачи электродинамики для случая, когда сторонним возбудителем электромагнитного поля является магнитный диполь, а одна из частей модели среды анизотропна. На рис. 2 показана модель среды, состоящая из трех однородных областей V_0, V_1, V_2 , разделенных двумя плоскопараллельными границами S_1, S_2 . Область V_0 — идеальный проводник. Ее удельная электропроводность $\sigma_0 \rightarrow \infty$. Изотропную область V_1 характеризуют удельная электропроводность σ_1 , диэлектриче-

ская проницаемость ε_1 и волновое число k_1 . Электрические параметры анизотропной области V_2 — $\sigma_{2n}, \varepsilon_{2n}, \sigma_{2t}, \varepsilon_{2t}$, а соответствующие волновые числа — k_{2n}, k_{2t} . Ось анизотропии n ориентирована по нормали к границам S_1, S_2 . Магнитный диполь расположен в области V_1 на расстояниях h и H от границ S_1 и S_2 соответственно. Момент \vec{M} диполя ортогонален оси анизотропии n .

При $h = 0$ и расположении точек наблюдения на границе S_1 рассматриваемая прямая задача может приближенно соответствовать ситуации, когда возбудителем высокочастотного электромагнитного поля в скважине является короткая щелевая генераторная антенна зонда ДМК, а его размеры достаточно малы — можно пренебречь конечным радиусом кривизны скважины. При этом область V_0 отвечает «башмаку» зонда, область V_1 — глинистой корке. Область V_2 может соответствовать анизотропным горным породам, либо анизотропной промывкой зоне пласта-коллектора для одного из возможных частных случаев: 1) ось анизотропии пород ортогональна оси скважины; 2) положение зонда ДМК в скважине таково, что его ось ортогональна оси анизотропии пород.

Введем декартову (x, y, z) и цилиндрическую (r, φ, z) системы координат с общими осью Z и началом 0 в центре диполя, осью X по направлению \vec{M} . Тогда $\vec{M} = \vec{l}_x M_x$. Определим векторный потенциал \vec{A} , связанный с электромагнитным полем равенствами (1), (2).

В [1, 2] приведено решение прямой задачи для поля переменного электрического диполя в анизотропной среде с плоскопараллельными границами. По аналогии с [1] получим решение рассматриваемой задачи для поля магнитного диполя в предположении, что для декартовых компонент векторного потенциала магнитного типа \vec{A} имеем: $\vec{A} = \vec{l}_x A_x + \vec{l}_z A_z$. Допустим, что в цилиндрических координатах декартовы компоненты \vec{A} не зависят от φ , т. е. $A_x = A_x(r, z)$, $A_z = A_z(r, z)$. Тогда, согласно (5), можем представить уравнения для компонент A_x и A_z в следующем виде:

$$\begin{aligned} \frac{\partial^2 A_x}{\partial r^2} + \frac{1}{r} \frac{\partial A_x}{\partial r} + \frac{1}{\lambda^2} \frac{\partial^2 A_x}{\partial z^2} + k_n^2 A_x &= 0, \\ \frac{\partial^2 A_z}{\partial r^2} + \frac{1}{r} \frac{\partial A_z}{\partial r} + \frac{\partial^2 A_z}{\partial z^2} + k_t^2 A_z &= (1 - \lambda^2) \frac{\partial^2 A_x}{\partial x \partial z}. \end{aligned} \quad (8)$$

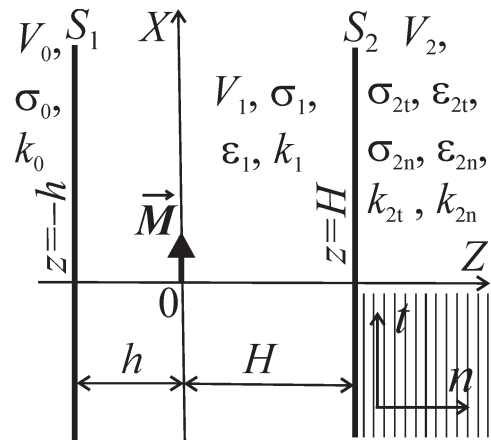


Рис. 2. Модель среды

Введем в рассмотрение скалярное поле W , связанное с компонентой A_z равенством $A_z = A_z = \partial W / \partial x$. Тогда из второго уравнения в (8) получим:

$$\frac{\partial^2 W}{\partial r^2} + \frac{1}{r} \frac{\partial W}{\partial r} + \frac{\partial^2 W}{\partial z^2} + k_t^2 W = (1 - \lambda^2) \frac{\partial A_x}{\partial z}. \quad (9)$$

Для нахождения частных решений a_x, w уравнений (8), (9) для A_x, W воспользуемся методом разделения переменных. Предположим, что эти решения могут быть найдены в виде: $a_x = X(z, k) \cdot \psi(r)$, $w = Z(z, k) \cdot \psi(r)$. Тогда в соответствии с (8), (9) имеем:

$$\frac{\psi''}{\psi} + \frac{\psi'}{r\psi} = -\frac{X''}{\lambda^2 X} - \frac{k_t^2}{\lambda^2} = -m^2,$$

$$\frac{\psi''}{\psi} + \frac{\psi'}{r\psi} = -\frac{Z''}{Z} - k_t^2 + (1 - \lambda^2) \frac{X'}{Z} = -m^2, \text{ или}$$

$$\psi'' + \frac{\psi'}{r} + m^2 \psi = 0,$$

$$X'' = m_\lambda^2 X, Z'' - m_t^2 Z = (1 - \lambda^2) X', \quad (10)$$

где $\psi' = d\psi/dr$, $\psi'' = d^2\psi/dr^2$, $X' = dX/dz$, $Z'' = d^2Z/dz^2$, $X'' = d^2X/dz^2$, $m_t = \sqrt{m^2 - k_t^2}$, $m_\lambda = \sqrt{(\lambda m)^2 - k_t^2}$, $\text{Re}(m_t) \geq 0$, $\text{Re}(m_\lambda) \geq 0$, $-m^2$ — постоянная разделения.

Решения первого уравнения в (10) для ψ — функции Бесселя первого и второго родов нулевого порядка: $J_0(mr)$, $Y_0(mr)$. Примем во внимание, что при $r \rightarrow 0$ $|Y_0(mr)| \rightarrow \infty$, а ось $Z(r=0)$ не является особой линией поля A . Поэтому решением уравнения для ψ в рассматриваемом случае может быть лишь функция $J_0(mr)$. Общее решение уравнения (10) для функции X имеет вид: $X = D_1 \exp(-m_\lambda z) + D_2 \exp(m_\lambda z)$, где D_1, D_2 — множители, не зависящие от z .

Решение третьего (неоднородного) уравнения в (10) для функции Z это — сумма общего решения Z_0 однородного уравнения и любого частного решения Z_4 неоднородного уравнения: $Z = Z_0 + Z_4$, $Z_0'' - m_t^2 Z_0 = 0$. Общее решение последнего уравнения: $Z_0 = C_1 \exp(-m_t z) + C_2 \exp(m_t z)$, где C_1, C_2 — не зависящие от аргумента z константы. Принимая во внимание, что

$$\begin{aligned} Z'' - m_t^2 Z &= \frac{\partial^2}{\partial z^2} \left(\frac{-1}{m^2} X' \right) - m_t^2 \frac{-1}{m^2} X' = \\ &= (m_t^2 - m_\lambda^2) \frac{X'}{m^2} = (1 - \lambda^2) X', \end{aligned}$$

$$X' = m_\lambda [-D_1 \exp(-m_\lambda z) + D_2 \exp(m_\lambda z)],$$

не сложно убедиться в том, что частным решением неоднородного уравнения (10) для функции Z_4 является выражение: $Z_4 = -X'/m^2$. Таким образом, решение третьего уравнения в (10) следующее:

$$\begin{aligned} Z &= [C_1 \exp(-m_t z) + C_2 \exp(m_t z)] + \\ &+ \frac{m_\lambda}{m^2} [B_1 \exp(-m_\lambda z) - B_2 \exp(m_\lambda z)]. \end{aligned} \quad (11)$$

Следовательно, частные решения уравнений (8), (9) для a_x и w можно представить в виде:

$$a_x = [B_1 \exp(-m_\lambda z) + B_2 \exp(m_\lambda z)] J_0(mr),$$

$$\begin{aligned} w &= \left\{ \frac{m_\lambda}{m^2} B_1 \exp(-m_\lambda z) - B_2 \exp(m_\lambda z) \right\} + \\ &+ C_1 \exp(-m_t z) + C_2 \exp(m_t z) \left\} J_0(mr). \end{aligned}$$

Соответственно общие решения уравнений (8), (9) для A_x и W :

$$\left. \begin{aligned} A_x &= \int_0^\infty [B_1 \exp(-m_\lambda z) + B_2 \exp(m_\lambda z)] J_0(mr) dm, \\ W &= \int_0^\infty \left\{ \frac{m_\lambda}{m^2} [B_1 \exp(-m_\lambda z) - B_2 \exp(m_\lambda z)] + \right. \\ &\left. + C_1 \exp(-m_t z) + C_2 \exp(m_t z) \right\} J_0(mr) dm \end{aligned} \right\} \quad (12)$$

Принимая во внимание, что $A_z = \frac{\partial W}{\partial x} = \frac{\partial}{\partial x} J_0(mr) = \frac{\partial}{\partial x} J_0(mr) = \frac{\partial r}{\partial x} \frac{\partial}{\partial r} J_0(mr) = -\frac{x}{r} m J_1(mr)$, где $J_1(mr)$ — функция Бесселя первого рода первого порядка аргумента mr , получаем:

$$\begin{aligned} A_z &= \frac{x}{r} \int_0^\infty \left\{ \frac{m_\lambda}{m^2} [B_1 \exp(-m_\lambda z) - B_2 \exp(m_\lambda z)] + \right. \\ &\left. + m C_1 \exp(-m_t z) + C_2 \exp(m_t z) \right\} J_1(mr) = \\ &= \frac{x}{r} \int_0^\infty \left\{ \frac{m_\lambda}{m^2} [B_1 \exp(-m_\lambda z) - B_2 \exp(m_\lambda z)] + \right. \\ &\left. + C_1' \exp(-m_t z) + C_2' \exp(m_t z) \right\} J_1(mr). \end{aligned} \quad (13)$$

Из сопоставления (12), (13) ясно, как связаны между собой выражения для компонент A_x и A_z векторного потенциала магнитного типа в анизотропной среде при $\vec{M} = \vec{M}_x$.

Воспользуемся интегралом Зоммерфельда:

$$\frac{\exp(ikR)}{R} = \int_0^\infty \frac{m}{m_k} \exp(\sqrt{m^2 - k^2} |z|) J_0(mr) dm, \quad (14)$$

где $R = \sqrt{r^2 + z^2}$, $m_k = \sqrt{m^2 - k^2}$, $\text{Re}(m_k) \geq 0$.

Тогда в однородной анизотропной среде в соответствии с (5), (14) для расположенного в начале координат магнитного диполя с моментом $\vec{M} = \vec{M}_x$ для ненулевых декартовых компонент потенциала \vec{A} :

$$\left. \begin{aligned} A_x^0 &= i\omega\mu_0\varepsilon_t^* \frac{M_x}{4\pi} \int_0^\infty \frac{m}{m_\lambda} \exp(-m_\lambda|z|) J_0(mr) dm, \\ A_z^0 &= i\omega\mu_0\varepsilon_t^* \frac{M_x}{4\pi} \frac{x}{r} \int_0^\infty [\exp(-m_t|z|) - \\ &\quad - \exp(-m_\lambda|z|)] J_1(mr) dm \end{aligned} \right\} \quad (15)$$

Вернемся к поставленной выше прямой задаче для модели среды и стороннего возбудителя поля (рис. 2). Предположим, что ее решение для векторного потенциала \vec{A} может быть найдено в виде: $\vec{A} = \vec{l}_x A_x + \vec{l}_z A_z$. Тогда в соответствии с (8), для единственности решения оно должно удовлетворять условиям следующей краевой задачи.

$$\left. \begin{aligned} 1. \ddot{\Delta} - h < z < H: \frac{\partial^2 A_x^{(1)}}{\partial r^2} + \frac{1}{r} \frac{\partial^2 A_x^{(1)}}{\partial r} + \frac{\partial^2 A_x^{(1)}}{\partial z^2} + k_1^2 A_x^{(1)} &= 0, \\ \frac{\partial^2 A_z^{(1)}}{\partial r^2} + \frac{1}{r} \frac{\partial^2 A_z^{(1)}}{\partial r} + \frac{\partial^2 A_z^{(1)}}{\partial z^2} + k_1^2 A_z^{(1)} &= 0, \\ 2. \ddot{\Delta} z > H: \frac{\partial^2 A_x^{(2)}}{\partial r^2} + \frac{1}{r} \frac{\partial^2 A_x^{(2)}}{\partial r} + \frac{1}{\lambda^2} \frac{\partial^2 A_x^{(2)}}{\partial z^2} + k_{2n}^2 A_x^{(2)} &= 0, \\ \frac{\partial^2 A_z^{(2)}}{\partial r^2} + \frac{1}{r} \frac{\partial A_z^{(2)}}{\partial r} + \frac{\partial^2 A_z^{(2)}}{\partial z^2} + k_{2i}^2 A_z^{(2)} &= (1 - \lambda^2) \frac{\partial^2 A_x^{(2)}}{\partial x \partial z}, \\ 3. \ddot{\Delta} R \rightarrow \infty: A_x^{(1,2)} \rightarrow 0, \quad A_z^{(1,2)} \rightarrow 0. \\ 4. \ddot{\Delta} R \rightarrow 0: \vec{A}^{(1)} \rightarrow \infty \hat{e} \hat{e} \vec{A}^1. \\ 5. \ddot{\Delta} z = -h: E_x^{(1)} = 0, E_y^{(1)} = 0. \\ 6. \ddot{\Delta} z = H: \begin{cases} a) E_x^{(1)} = E_x^{(2)}, \hat{a}) E_y^{(1)} = E_y^{(2)}, \\ \hat{a}) H_x^{(1)} = H_x^{(2)}, \hat{a}) E_y^{(1)} = H_y^{(2)}. \end{cases} \end{aligned} \right\} \quad (16)$$

В (16) верхние индексы векторов (в скобках) или их компонент соответствуют индексам областей пространства V на рис. 2, а $\lambda = k_{2i}/k_{2n}$. Пятое условие (при $z = -h$) выражает равенство нулю тангенциальных к границе с идеальным проводником компонент поля \vec{E} у этой границы. В четвертом условии (при $R \rightarrow 0$) \vec{A}^1 — векторный потенциал «первичного» поля (поля в однородной изотропной среде с волновым числом k_1). Согласно (15),

$$\begin{aligned} \vec{A}^1 &= \vec{l}_x A_x^1, \\ A_x^1 &= i\omega\mu_0\varepsilon_t^* \frac{M_x}{4\pi} \int_0^\infty \frac{m}{m_1} \exp(-m_1|z|) J_0(mr) dm. \end{aligned}$$

Условия сопряжения (при $z = H$) на границе S_2 отражают непрерывность на такой границе тангенциальных к ней компонент векторов \vec{E} и \vec{H} . В соответствии с (1), (2), при $\vec{A} = \vec{l}_x A_x + \vec{l}_z A_z$ эти компоненты связаны с потенциалом \vec{A} равенствами:

$$\begin{aligned} E_x &= \frac{1}{\varepsilon_t^*} \frac{\partial A_z}{\partial y}, E_y = \frac{1}{\varepsilon_t^*} \left(\frac{\partial A_x}{\partial z} - \frac{\partial A_z}{\partial x} \right) \\ H_x &= \frac{1}{i\omega\mu_0\varepsilon_t^*} \left(k_t^2 A_x + \lambda^2 \frac{\partial^2 A_x}{\partial x^2} + \frac{\partial^2 A_z}{\partial x \partial z} \right), \\ H_y &= \frac{1}{i\omega\mu_0\varepsilon_t^*} \left(\lambda^2 \frac{\partial^2 A_x}{\partial x \partial y} + \frac{\partial^2 A_z}{\partial y \partial z} \right). \end{aligned}$$

Из последних выражений следует, что для непрерывности компонент E_x, E_y, H_x, H_y на плоскости $z = H$ достаточно, чтобы на этой плоскости были непрерывны следующие функции:

$$\left. \begin{aligned} A_x, \frac{1}{\varepsilon_t^*} \frac{\partial A_x}{\partial z}, \\ \frac{1}{\varepsilon_t^*} A_z, \frac{1}{\varepsilon_t^*} \left(\lambda^2 \frac{\partial A_x}{\partial x} + \frac{\partial A_z}{\partial z} \right). \end{aligned} \right\} \quad (17)$$

В соответствии с (13), (15) можем найти решение для компонент векторного потенциала:

$$\left. \begin{aligned} A_x^{(1)} &= i\omega\mu_0\varepsilon_t^* \frac{M_x}{4\pi} \int_0^\infty \frac{m}{m_1} [\exp(-m_t|z|) + B \exp(-m_1 z) + \\ &\quad + B_1 \exp(-m_1 z)] J_0(mr) dm, \\ A_z^{(1)} &= i\omega\mu_0\varepsilon_t^* \frac{M_x}{4\pi} \frac{x}{r} \int_0^\infty [C \exp(-m_t z) - C_1 \exp(-m_1 z)] \times \\ &\quad \times J_1(mr) dm, \\ A_x^{(2)} &= i\omega\mu_0\varepsilon_{2i}^* \frac{M_x}{4\pi} \int_0^\infty D \exp(-m_{2\lambda} z) J_0(mr) dm, \\ A_z^{(2)} &= i\omega\mu_0\varepsilon_{2i}^* \frac{M_x}{4\pi} \int_0^\infty \left[-D \frac{m_{2\lambda}}{m} \exp(-m_{2\lambda} z) + \right. \\ &\quad \left. + G \exp(-m_{2i} z) \right] J_1(mr) dm \end{aligned} \right\} \quad (17)$$

где B, B_1, C, C_1, D, G — неизвестные множители. При записи выражений для компонент векторного потенциала в виде (17) выполняются первые четыре условия краевой задачи (16). Из последних двух условий (при $z = -h$ и при $z = H$) не сложно получить систему шести алгебраических уравнений. Решая эту систему, можем определить шесть неизвестных множителей в (17). Приведем формулы для множителей B, B_1, C, C_1 , от которых зависит электромагнитное поле в области V_1 , для случая, когда $h = 0$:

$$\begin{aligned} C &= \frac{B[m^2 m_{2\lambda} + m_1(k_{2i}^2 + m_{2i} m_{2\lambda})] + (B+2) \times}{m_1 m_{2\lambda} [m_1 + m_{2i} +} \\ &\quad \times [m^2 m_{2\lambda} - m_1(k_{2i}^2 + m_{2i} m_{2\lambda})] \exp(-2m_1 H)} \\ &\quad \left. + (m_1 - m_{2i}) \exp(-2m_1 H) \right], \\ B &= \frac{2(k_{2i}^2 m_1 - k_1^2 m_{2\lambda}) \exp(-2m_1 H)}{k_1^2 m_{2\lambda} + k_{2i}^2 m_1 - (k_{2i}^2 m_1 - k_1^2 m_{2\lambda}) \exp(-2m_1 H)}, \\ B_1 &= B + 1, C_1 = C. \end{aligned}$$

Пользуясь (2), (17), определим компоненты электромагнитного поля. В частности, при $h = 0$ и $z = 0$ (генераторный магнитный диполь и точка наблюдения расположены на поверхности S_1) для компоненты H_x получим:

$$\begin{aligned} H_x^{(1)} &= (x, y, 0) = \frac{M_x}{2\pi} \int_0^\infty \left\{ k_1^2 \frac{m}{m_1} (B+1) J_0(mr) + \frac{1}{r^3} \times \right. \\ &\quad \left. \times \left[C m_1 - \frac{m^2}{m_1} (B+1) \right] \cdot [x^2 m r J_0(mr) + (y^2 - x^2) J_1(mr)] \right\} dm. \end{aligned} \quad (18)$$

На основе (4), (18) можно провести математическое моделирование с целью выяснения влияния электрических параметров анизотропных горных пород, а также глинистой корки на результаты измерений в диэлектрическом микрокартаже.

Работа выполнена при финансовой поддержке РФФИ (проект 05-05-65271).

ЛИТЕРАТУРА

1. В а н ь я н Л.Л. Основы электромагнитных зондирований. М.: «Недра», 1965. 108 с.
2. В а н ь я н Л.Л. Электромагнитные зондирования. М.: Научный мир, 1997. 218 с.
3. Г у б а т е н к о В.П. Эффект Максвелла—Вагнера в электроразведке // Физика Земли. 1991. № 4. С. 88–98.
4. Д а е в Д.С. Высокочастотные электромагнитные методы исследования скважин. М.: Недра. 1974. 192 с.
5. К а р и н с к и й А.Д., К о з а к Н.М. Результаты теоретических исследований влияния конечного радиуса кривизны скважины на результаты диэлектрического микрокаротажа // Тез. докл. конф. «Новые достижения в науках о Земле». М., 1993. С. 29.
6. К а р и н с к и й А.Д. Физические предпосылки измерения различных компонент поля в электромагнитном каротаже при изучении анизотропии пластов // Геофизика. 2002. № 4. С. 15–23.
7. Т и х о н о в А.Н. О распространении электромагнитного поля в слоистой анизотропной среде // Докл. АН СССР. 1959. Т. 126. № 5. С. 967–970.
8. L i a n g C. Shen. Problems in dielectric-constant logging and possible routes to their solution // The Log Analyst. 1985. N6 (November—December). P. 14–25.
9. R a m a R a u, R a y D a v i e s, M i c h a e l F i n k e and M i c h a e l M a n n i n g. Advances in high frequency dielectric logging // SPWLA, 32th Annual Logging Symposium. Paper S. 18 p. 1991. June 16-19. Houston, Texas, USA. 1991. H.18.

Российский государственный
геологоразведочный университет
Рецензент — Б.С. Светов